УЛК 532.517

НЕИЗОТЕРМИЧЕСКОЕ ТЕЧЕНИЕ НЕНЬЮТОНОВСКОЙ ЖИДКОСТИ СО СВОБОДНОЙ ПОВЕРХНОСТЬЮ В КОАКСИАЛЬНОМ КАНАЛЕ

© 2022 г. Е. И. Борзенко^{a,*}, О. А. Дьякова^a, Г. Р. Шрагер^a

а Томский государственный университет, Томск, Россия

*E-mail: borzenko@ftf.tsu.ru

Поступила в редакцию 20.05.2022 г. После доработки 21.06.2022 г. Принята к публикации 21.06.2022 г.

Исследовано неизотермическое течение неньютоновской жидкости в поле силы тяжести с учетом диссипативного разогрева, зависимости эффективной вязкости от температуры и наличия свободной поверхности, реализуемое при заполнении коаксиального канала. Реологическое поведение среды описывается моделью Cross-WLF. Задача решается численно с использованием оригинальной вычислительной технологии на основе метода контрольного объема и метода инвариантов для удовлетворения граничных условий на свободной границе. Продемонстрированы характеристики потока в процессе заполнения при различных значениях определяющих параметров.

Ключевые слова: неизотермическое течение, свободная поверхность, неньютоновская жидкость, коаксиальный канал, численное моделирование

DOI: 10.31857/S056852812260028X

Течения жидкости со свободной поверхностью широко распространены в природе и технических приложениях. В частности, в металлургии при переработке полимерных материалов методом литья реализуется процесс заполнения емкостей жидкой средой, характерной особенностью которого является наличие свободной поверхности. Течения подобного типа во многих случаях осуществляются в неизотермических условиях, а реологическое поведение жидких сред зависит от интенсивности тензора скоростей деформаций и температуры [1]. Плоские и осесимметричные течения вязких сред при заполнении каналов достаточно хорошо изучены. Подробное описание кинематики изотермического течения вязкой жидкости и эволюции свободной поверхности изложено в [2-5]. Влияние вязкой диссипации и зависимости вязкости от температуры на характеристики гидродинамического процесса изложено в [6–9]. Учет неньютоновского поведения жидкости при заполнении плоских каналов и круглых труб реализуется в [10-16]. Следует отметить не достаточно полное представление результатов исследования течений жидкости при заполнении коаксиального канала [1, 17–19]. Особенности технологии литьевого формования изделий описаны в [1]. В [17] представлены исследования эволюции формы свободной границы для неизотермического течения аномально вязкой жидкости. В [18] представлены результаты численного моделирования ползушего изотермического течения нелинейно-вязкопластичной жидкости, описана динамика выделенных макрообъемов. Процесс заполнения круглой трубы с центральным телом ньютоновской жидкостью исследован в [19].

Целью данной работы является исследование процесса заполнения коаксиального канала неньютоновской жидкостью с учетом вязкой диссипации и зависимости реологических свойств от температуры. В настоящей статье впервые представлены результаты исследования эволюции свободной поверхности, кинематических и динамических характеристик потока жидкости, описываемой реологической моделью Cross-WLF, при заполнении коаксиального канала в неизотермических условиях.

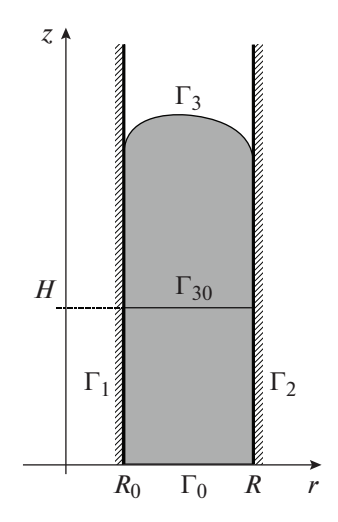


Рис. 1. Область течения.

1. ПОСТАНОВКА ЗАЛАЧИ

Исследуется неизотермическое осесимметричное течение неньютоновской жидкости в поле силы тяжести с учетом диссипативного разогрева, зависимости эффективной вязкости от температуры и наличия свободной поверхности, реализуемое при заполнении коаксиального канала с внешним радиусом R и внутренним R_0 . Математическая постановка задачи включает уравнения движения, неразрывности и энергии. Предполагается, что изменения теплоемкости, плотности и коэффициента теплопроводности в рассматриваемых температурных диапазонах незначительны, и поэтому считаются постоянными. Область течения схематично представлена на рис. 1.

Жидкость подается через входное сечение Γ_0 с заданным постоянным расходом и температурой. На внутренней Γ_1 и внешней Γ_2 стенках заданы значения температуры T_1 и T_2 соответственно и выполняется условие прилипания. На свободной поверхности Γ_3 реализуются условия отсутствия касательных напряжений и равенства нормального — внешнему давлению, которое без ограничения общности принимается равным нулю. Движение свободной границы осуществляется в соответствии с кинематическим условием. В начальный момент времени канал заполнен жидкостью до высоты $H = 2R - R_0$, свободная поверхность имеет плоскую горизонтальную форму Γ_{30} , а температура жидкости равна T_1 .

Реологическое поведение среды описывается моделью Cross-WLF (Williams—Landel—Ferry) [20—22], согласно которой формула для определения эффективной вязкости имеет вид

$$\eta(\dot{\gamma}, T) = \eta_0(T) / [1 + (\eta_0(T) \dot{\gamma} / \tau^*)^{1-m}]$$
(1.1)

где $\eta_0\left(T\right) = \eta_{\mathrm{l}}\mathrm{exp}\!\left(\frac{A}{T-T^*}\right)$ — предельное значение вязкости при малых величинах интенсивности

тензора скоростей деформации $\dot{\gamma}$, T — температура жидкости в потоке, η_1 , τ^* , A, m и T^* — параметры модели. Данная модель адекватно описывает реологические свойства аморфных полимеров и часто используется в математических постановках задач о течениях подобных сред [23, 24].

Поставленная задача решается в безразмерных переменных. В качестве масштабов обезразмеривания выбраны следующие величины: длины — внешний радиус канала R, скорости — среднерасходная скорость во входном сечении U_0 , времени — R/U_0 , вязкости — величина η_1 , давления — $\eta_1 U_0/R$. Безразмерная температура определяется формулой $\theta = (T - T^*)/T_1$. Таким образом, урав-

нения движения, неразрывности в векторной форме и уравнение энергии с сохранением обозначения для безразмерных переменных запишутся в виде

Re
$$\frac{d\mathbf{U}}{dt}$$
 = $-\nabla p + \nabla (2\eta E) + \mathbf{W}$
 $\nabla \times \mathbf{U} = 0$
 Pe $\frac{d\theta}{dt}$ = $\nabla^2 \theta + \text{Br } \Phi$

Здесь U — вектор скорости с компонентами U_r , U_z в цилиндрической системе координат (r,z), t — время, p — давление, E — тензор скоростей деформации, η — безразмерная эффективная вязкость, $\mathbf{W}=(0,-\mathbf{W}), \, \Phi$ — диссипативная функция. В постановку задачи вошли следующие безразмерные критерии: $\mathrm{Re}=\rho U_0 R/\eta_1$ — число Рейнольдса; $\mathrm{Pe}=c\rho U_0 R/\lambda$ — число Пекле; $\mathrm{Br}=\eta_1 U_0^2/(T_1\lambda)$ — число Бринкмана; $\mathrm{W}=\rho g R^2/(\eta_1 U_0)$ — число, характеризующее соотношение гравитационных и вязких сил, где ρ — плотность, g — ускорение силы тяжести, λ — коэффициент теплопроводности, c — теплоемкость.

Эффективная вязкость среды в безразмерном виде определяется формулой

$$\eta = \frac{\eta_0(\theta)}{1 + (C_1 \eta_0(\theta) \times \dot{\gamma})^{1-m}}, \quad \eta_0(\theta) = \exp\left(\frac{C_2}{\theta}\right)$$

где $C_1 = \eta_1 U_0 / \tau^* R$, $C_2 = A / T_1 -$ безразмерные числа.

Граничные условия записываются следующим образом

$$\Gamma_0: U_r = 0, \quad U_z = f_1(r), \quad \theta = f_2(r)$$

$$\Gamma_1: U_r = 0, \quad U_z = 0, \quad \theta = \theta_1$$

$$\Gamma_2: U_r = 0, \quad U_z = 0, \quad \theta = \theta_2$$

$$\Gamma_3: \frac{\partial U_n}{\partial s} + \frac{\partial U_s}{\partial n} = 0, \quad -p + 2\eta \frac{\partial U_n}{\partial n} = 0, \quad \frac{\partial \theta}{\partial n} = 0$$

Здесь $\theta_1 = (T_1 - T^*)/T_1$ и $\theta_2 = (T_2 - T^*)/T_1$ — значения безразмерных температур на внутренней и внешней стенках канала; U_n и U_s — нормальная и касательная компоненты вектора скорости на свободной поверхности соответственно; $f_1(r), f_2(r)$ — функции скорости и температуры, соответствующие установившемуся течению данной жидкости в коаксиальном зазоре с заданным постоянным расходом, которые определяются численно в результате решения одномерной задачи. Математическая постановка одномерной задачи включает стационарные уравнения движения и энергии относительно координаты r с учетом диссипативного разогрева и формулы для эффективной вязкости (1.1) с условиями прилипания и заданной температурой на твердой стенке. Конечно-разностные аналоги уравнений системы записываются в форме, используемой для реализации метода прогонки. Совместное решение уравнений для получения стационарных полей скорости и температуры обуславливает организацию итерационного процесса.

2. МЕТОД РЕШЕНИЯ

Сформулированная задача решается численно методом контрольного объема для расчета характеристик потока. Алгоритм SIMPLE [25] применяется для удовлетворения уравнения неразрывности. Для численной реализации граничных условий на свободной поверхности используется метод инвариантов [26]. На линии трехфазного контакта используется условие проскальзывания при динамическом краевом угле, равном π [27].

Тестирование методики расчета проводилось для значений теплофизических характеристик полиэтилена марки PE2042E из экспериментальной работы [23] для случая заполнения коаксиального зазора с внешним радиусом 0.01 м со среднерасходной скоростью 0.02 м/с, что соответствует следующим значениям безразмерных критериев Re = 0.0001, W = 0.0244, Pe = 1252, C_1 = 0.066, m = 0.3, R_0/R = 0.2. Температура стенок соответствует значениям, которые обеспечивают переработку полиэтилена данной марки методом литья под давлением.

h_r	h_z	r _{max}	$z_{ m max}$	U_z
1/12	2/12	0.5028	2.9098	1.0743
1/25	2/25	0.5518	2.8903	1.0203
1/50	2/50	0.5749	2.8972	1.0108

Таблица 1. Значения характеристик свободной поверхности ($\theta_1 = \theta_2 = 0.55$, $C_2 = 1$, Br = 0.0045)

Для проверки аппроксимационной сходимости проведена серия расчетов на последовательности сеток при температуре внутренней и внешней стенок $T_1 = T_2 = 200\,^{\circ}\mathrm{C}$. Сходимость проверяется по координатам и компоненте скорости U_z точки свободной поверхности с максимальным значением z в момент времени t=1. Данные, представленные в табл. 1, демонстрируют схолимость.

Дальнейшие расчеты проводились на прямоугольной сетке с шагами по пространству $h_{\rm r} = 1/25$ и $h_{\rm r} = 2/25$ и шагом по времени $\Delta t = 10^{-4}$.

3. РЕЗУЛЬТАТЫ РАСЧЕТОВ

Все представленные ниже результаты параметрических исследований получены для следующих значений безразмерных чисел: $Re=0.0001, W=0.0244, Pe=1252, m=0.3, C_1=0.066, R_0/R=0.2$. Значения параметров, относительно которых определяются зависимости характеристик течения, помещены в подписях к рисункам и таблице. В процессе заполнения первоначально плоская свободная поверхность выгибается, принимая выпуклую форму, и перемещается вдоль канала со среднерасходной скоростью, что демонстрирует рис. 2. Как и в случае заполнения круглой трубы или плоского канала [9, 28], для коаксиального зазора наблюдается фонтанирующий характер течения. Отметим, что фонтанирующим течением принято называть движение среды в окрестности поверхности раздела двух несмешивающихся потоков, когда одна жидкость вытесняет другую [29].

На рис. За представлены линии тока в неподвижной системе координат, а на рис. 36 - в системе, движущейся со среднерасходной скоростью, в момент времени t = 5.

Дополнительную информацию о характере течения дают топограммы массораспределения порций жидкости, которые представляют собой объемы жидкости, последовательно поступающие в канал через входное сечение в течение заданного промежутка времени. На рис. 4 приведе-

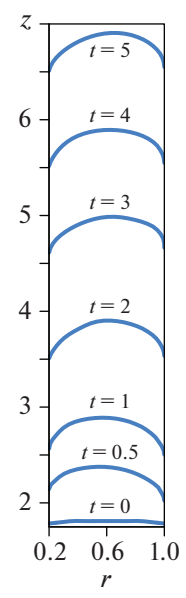


Рис. 2. Эволюция формы свободной поверхности ($\theta_1 = 0.55$, $\theta_2 = 0.66$, $C_2 = 1$, Br = 0.0045).

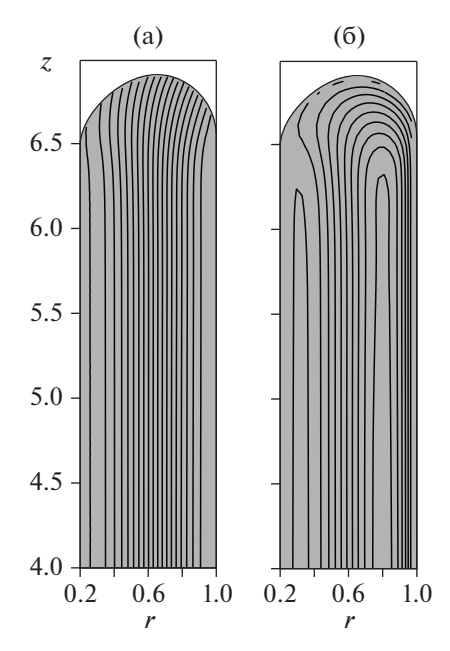


Рис. 3. Линии тока в неподвижной (а) и подвижной (б) системах координат в момент времени t=5 ($\theta_1=0.55$, $\theta_2=0.66$, $C_2=1$, Br=0.0045).

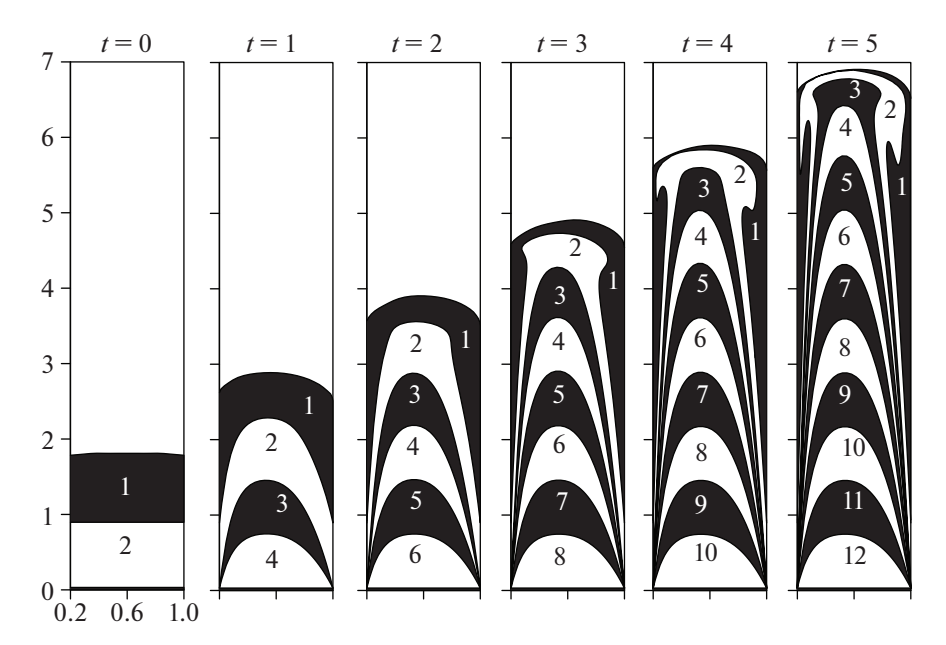


Рис. 4. Топограммы массораспределения в различные моменты времени при $\theta_1=0.55,\ \theta_2=0.66,\ C_2=1,\ Br=0.0045.$

ны топограммы, в которых порции отличаются цветами, а цифрами обозначены их порядковые номера. В области одномерного течения порции деформируются в соответствии с профилем аксиальной скорости. В окрестности свободной поверхности порции приобретают характерную грибовидную форму и перераспределяются вдоль стенок канала.

Распределения характеристик потока в момент времени t=5 представлены на рис. 5. Анализ распределений компонент вектора скорости и давления показывает, что в потоке условно можно выделить две области: зона двумерного течения в окрестности свободной поверхности и область одномерного течения в остальной части потока. Распределение вязкости (рис. 5г) также подтверждает описанную кинематику течения. Поле температуры имеет двумерный характер по всей области течения (рис. 5д).

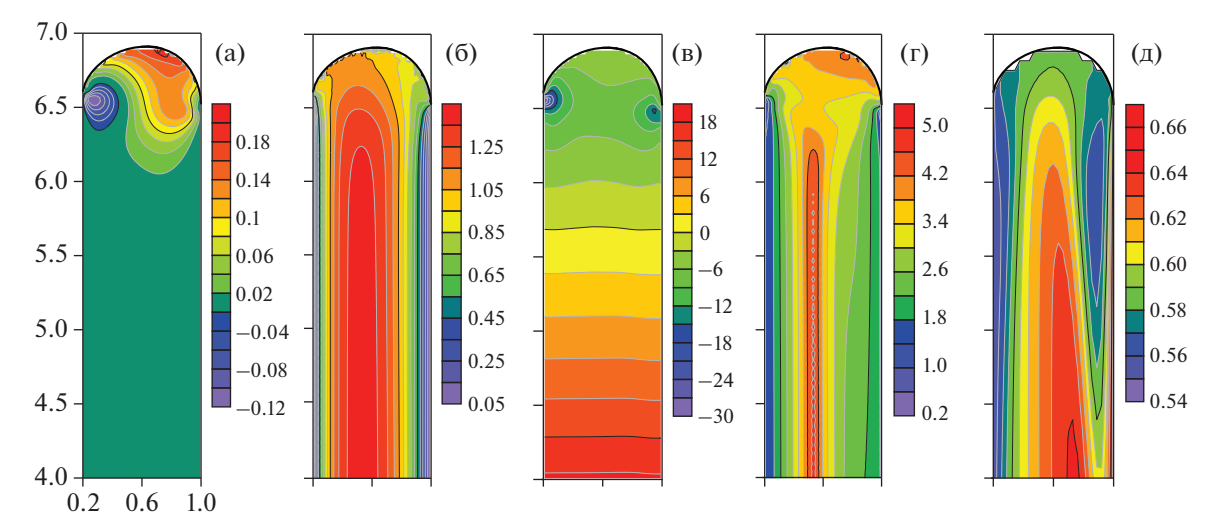


Рис. 5. Распределения характеристик потока в момент времени t=5 при $\theta_1=0.55, \theta_2=0.66, C_2=1, Br=0.0045: а — поле скорости <math>U_r$, δ — поле скорости U_z , в — поле давления, Γ — поле эффективной вязкости, д — поле температуры.

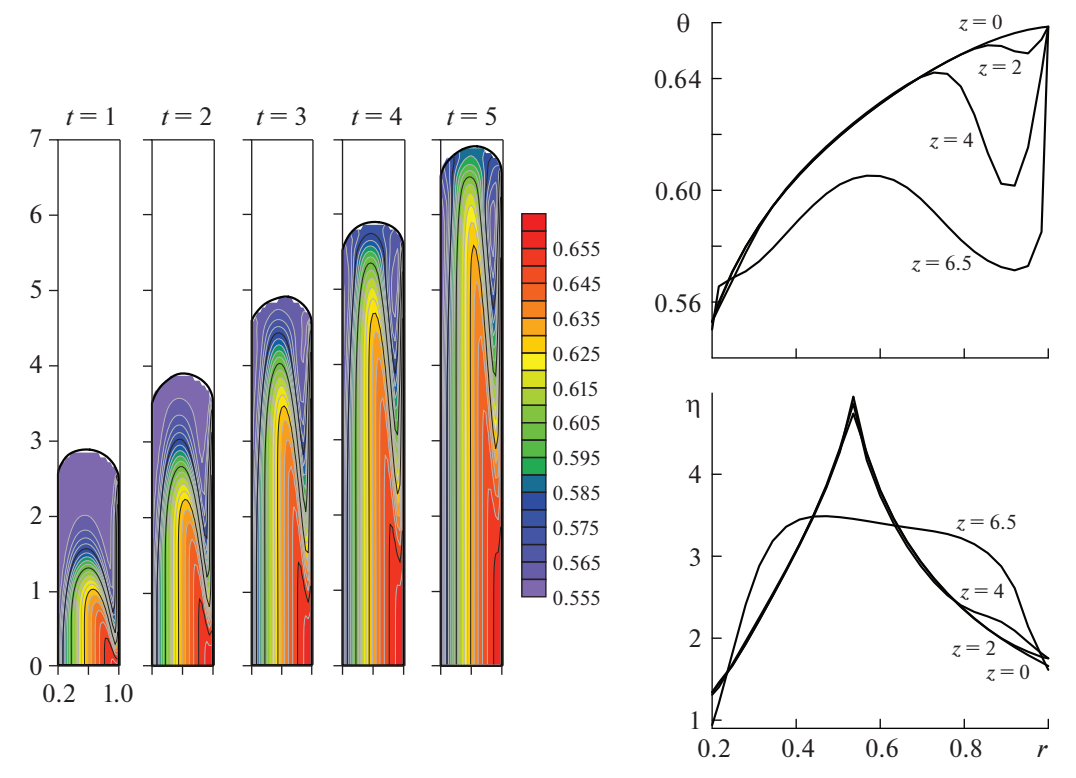


Рис. 6. Эволюция поля температур с течением времени (а) и распределения температуры и эффективной вязкости в поперечных сечениях z = const в момент времени t = 5 (б) при $\theta_1 = 0.55$, $\theta_2 = 0.66$, $C_2 = 1$, Br = 0.0045.

Эволюция поля температуры с течением времени представлена на рис. 6а. Поскольку при Pe = 1252 доминирует конвективный механизм переноса тепла в потоке, то и распределения температуры также подтверждают описанную выше кинематику течения. Диссипативный разогрев жидкости и зависимость эффективной вязкости от температуры формируют наблюдаемый профиль температуры в потоке (рис. 6б). В области одномерного течения профиль аксиальной скорости предполагает наличие экстремума, в окрестности которого интенсивность тензора скоростей деформаций стремится к нулю, что приводит к резкому увеличению эффективной вязкости согласно формуле (1.1). В зоне фонтанирующего течения профиль вязкости сглаживается за счет двумерного характера течения.

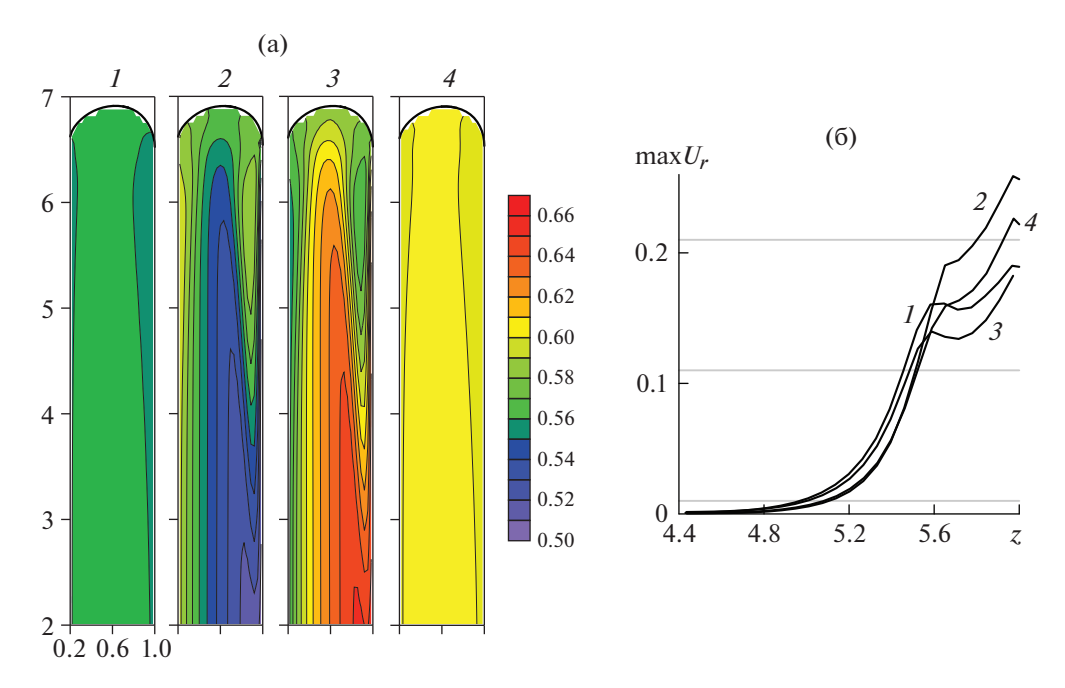


Рис. 7. Поля температур (a) и профили скорости U_r^{\max} (б) при различных значениях граничных условий на твердых стенках: $I-\theta_1=\theta_2=0.55, C_2=1, Br=0.0045; 2-\theta_1=0.6, \theta_2=0.5, C_2=0.91, Br=0.0041; 3-\theta_1=0.55, \theta_2=0.66, C_2=1, Br=0.0045; 4-\theta_1=\theta_2=0.6, C_2=0.91, Br=0.0041.$

Влияние граничных условий на твердых стенках на распределение температуры демонстрирует рис. 7. В случае совпадения значений температуры на внешней и внутренней стенках канала в потоке наблюдается небольшая неоднородность ее распределения, связанная с диссипативным эффектом. Для варианта задания граничных условий с различными температурами на стенках распределения температуры соответствуют кинематике фонтанирующего течения в окрестности свободной поверхности. Изменение величины радиуса внутреннего цилиндра при прочих равных не приводит к качественным изменениям в распределении теплофизических характеристик потока.

Распределения максимальных значений радиальной компоненты вектора скорости в поперечных сечениях вдоль оси z представлено на рис. 76 в момент времени, когда координата вершины свободной поверхности z=6. Характер распределений подтверждает формирование двух зон: одномерное и фонтанирующее течения. Область, в которой скорость отлична от нуля, соответствует двухмерному течению вблизи свободной поверхности.

ЗАКЛЮЧЕНИЕ

Выполнено исследование процесса неизотермического заполнения коаксиального канала жидкостью Cross-WLF с учетом диссипативного разогрева и зависимости реологических характеристик от температуры. Теплофизические характеристики среды соответствуют полиэтилену марки PE2042E. Задача решена численно с использованием оригинальной вычислительной технологии на основе метода контрольного объема и метода инвариантов для удовлетворения граничных условий на свободной границе. Продемонстрированы характеристики потока в процессе заполнения при различных значениях определяющих параметров. Выявлены зона двумерного течения в окрестности свободной поверхности и зона одномерного течения вдали от нее. Установлено, что температура стенок в диапазоне 200—250°C оказывает слабое влияние на кинематику потока. В области одномерного течения изотермы параллельны стенкам канала, а в окрестности свободной поверхности они деформируются в соответствии с кинематикой фонтанирующего течения.

Исследование выполнено при поддержке гранта РНФ (проект № 18-19-00021-П).

СПИСОК ЛИТЕРАТУРЫ

- 1. Глушков И.А., Милехин Ю.М., Меркулов В.М., Банзула Ю.Б. Моделирование формования изделий из свободно-литьевых композиций. М.: Архитектура-С, 2007. 362 с.
- 2. *Борзенко Е.И., Якутенок В.А.* Эволюция свободной поверхности при заполнении плоских каналов вязкой жидкостью // Изв. РАН. МЖГ. 2008. № 1. С. 24—30.
- 3. *Mitsoulis E.* Fountain flow revisited: The effect of various fluid mechanics parameters // AIChE J. 2010. V. 56. № 5. P. 1147–1162.
- 4. *Mavridis H., Hrymak A.N., Vlachopoulos J.* Mathematical modeling of injection mold filling: A review // Adv. Polym. Technol. 1986. V. 6. № 4. P. 457–466.
- 5. Coyle D.J., Blake J.W., Macosko C.W. The kinematics of fountain flow in mold-filling // AIChE J. 1987. V. 33. № 7. P. 1168–1177.
- 6. *Nguyen-Chung T., Mennig G.* Non-isothermal transient flow and molecular orientation during injection mold filling // Rheol. Acta. 2001. V. 40. № 1. P. 67–73.
- 7. *Otmani R.E., Zinet M., Boutaous M., Benhadid H.* Numerical simulation and thermal analysis of the filling stage in the injection molding process: Role of the mold-polymer interface // J. Appl. Polym. Sci. 2011. V. 121. № 3. P. 1579—1592.
- 8. Wang W., Li X., Han X. Numerical simulation and experimental verification of the filling stage in injection molding // Polym. Eng. Sci. 2012. V. 52. № 1. P. 42–51.
- 9. *Борзенко Е.И.*, *Фролов О.Ю.*, *Шрагер Г.Р.* Фонтанирующее течение вязкой жидкости при заполнении канала с учетом диссипативного разогрева // Изв. РАН. МЖГ. 2014. № 1. С. 45—55.
- 10. *Otmani E.R., Zinet M., Boutaous M., Chantrenne P., Benhadid H.* Numerical simulation of the filling phase in the polymer injection moulding process with a conservative level set method // Int. J. Mater. Form. 2008. V. 1. № S1. P. 731–734.
- 11. *Липанов А.М., Альес М.Ю., Константинов Ю.Н.* Численное моделирование ползущих течений неньютоновских жидкостей со свободной поверхностью // Математическое моделирование. 1993. В. 5. № 7. С. 3—9.
- 12. *Mavridis H.*, *Hrymak A.N.*, *Vlachopoulos J.* Finite element simulation of fountain flow in injection molding // Polym. Eng. Sci. 1986. V. 26. № 7. P. 449–454.
- 13. *Gogos C.G.*, *Huang C.F.*, *Schmidt L.R*. The process of cavity filling including the fountain flow in injection molding // Polym. Eng. Sci. 1986. V. 26. № 20. P. 1457–1466.
- 14. *Mitsoulis E*. Fountain flow of pseudoplastic and viscoplastic fluids // J. Nonnewton. Fluid Mech. 2010. V. 165. № 1–2. P. 45–55.
- 15. *Borzenko E.I.*, *Ryltseva K.E.*, *Shrager G.R*. Free-surface flow of a viscoplastic fluid during the filling of a planar channel // J. Nonnewton. Fluid Mech. 2018. V. 254. P. 12–22.
- 16. *Borzenko E.I., Frolov O.Y., Shrager G.R.* Kinematics of the fountain flow during pipe filling with a power-law fluid // AIChE J. 2019. V. 65. № 2. P. 850–858.
- 17. *Чехонин К.А., Липанов А.М., Булгаков В.К.* Заполнение области между вертикальными коаксиальными цилиндрами аномально-вязкой жидкостью в неизотермических условиях // ИФЖ. 1989. В. 57. № 4. С. 577—583.
- 18. *Чехонин К.А., Сухинин П.А.* Движение нелинейно вязкопластичной жидкости со свободной поверхностью при заполнении осесимметричного объема // Математическое моделирование. 2001. В. 13. № 3. С. 89—102.
- 19. *Борзенко Е.И., Шрагер Г.Р.* Кинематика течения вязкой жидкости при заполнении трубы с коаксиальным центральным телом // Изв. РАН. МЖГ. 2020. № 3. С. 51–58.
- 20. *Cross M.M.* Rheology of non-Newtonian fluids: A new flow equation for pseudoplastic systems // J. Colloid Sci. 1965. V. 20. № 5. P. 417–437.
- 21. Williams M.L., Landel R.F., Ferry J.D. The Temperature Dependence of Relaxation Mechanisms in Amorphous Polymers and Other Glass-forming Liquids // J. Am. Chem. Soc. 1955. V. 77. № 14. P. 3701–3707.
- 22. Виноградов Г.В., Малкин А.Я. Реология полимеров. М: Химия, 1977. 440 с.
- 23. Sleiman G.E.H., Petit I., Allanic N., Belhabib S., Madec Y., Launay J., Deterre R. Study of the rheological behavior of polypropylene/polyethylene extruded mixture using an instrumented die // AIP Conf. Proc. 1914. 2017. P. 040005-1-040005-5.
- 24. *Sorrentino A.*, *Pantani R.* Determination of the effect of pressure on viscosity of an isotactic polypropylene // Polym. Bull. 2013. V. 70. № 7. P. 2005–2014.
- 25. Patankar S.V. Numerical heat transfer and fluid flow. N.Y.: Hemisphere Pub. Corp., 1980. 197 p.
- 26. Васенин И.М., Сидонский О.Б., Шрагер Г.Р. Численное решение задачи о движении вязкой жидкости со свободной поверхностью // Доклады АН СССР. 1974. В. 217. № 2. С. 295—298.
- 27. *Борзенко Е.И.*, *Шрагер Г.Р.* Влияние вида граничных условий на линии трехфазного контакта на характеристики течения при заполнении канала // Прикладная механика и техническая физика. 2015. В. 56. № 2. С. 3—14.
- 28. *Борзенко Е.И., Фролов О.Ю., Шрасер Г.Р.* Фонтанирующее неизотермическое течение вязкой жидкости при заполнении круглой трубы // Теоретические основы химической технологии. 2014. В. 48. № 6. С. 677—684.
- 29. Rose W. Fluid-Fluid Interfaces in Steady Motion // Nature. 1961. V. 191. P. 242-243.